

Technická zpráva

Katedra kybernetiky, Fakulta aplikovaných věd
Západočeská univerzita v Plzni

Kinematická a dynamická analýza robotických architektur pro potřeby moderních ultrazvukových kontrol svarových spojů komplexních potrubních systémů jaderných elektráren

30. 12. 2011

Martin Švejda
msvejda@kky.zcu.cz

Obsah

1	Úvod	3
2	Sériový manipulátor - Varianta 1	3
2.1	Přímá (PKÚ) a inverzní (IKÚ) kinematická úloha	7
2.2	Závislosti rychlostí a zrychlení	9
3	Sériový manipulátor - Varianta 2	17
3.1	Přímá (PKÚ) a inverzní (IKÚ) kinematická úloha	18
3.2	Závislosti rychlosti a zrychlení	19
4	Univerzální sériový manipulátor	23
5	Závěr	24

1 Úvod

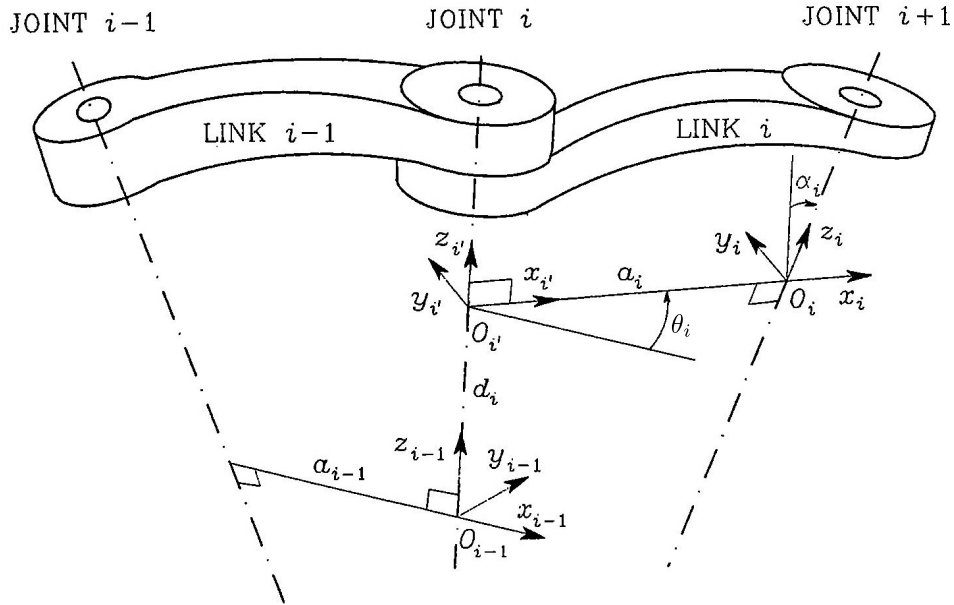
Drtivá většina současných zařízení pro ultrazvukové (UZ) kontroly potrubních systémů je realizována jako jednoúčelová zařízení s maximálně jedním stupněm volnosti (DoF) koncového efektoru. Za účelem navýšení univerzálnosti takových zařízení je proto nutné se uchýlit ke komplexnějším robotických architekturám s více stupni volnosti, které výrazně zlepšují manévrovatelnost při polohování UZ sondy. Tento trend je bohužel vykoupen vyšší složitostí robotických architektur, kde kinematická a dynamická analýza hraje klíčovou roli při jejich návrhu, neboť intuitivně lze o kinematických a dynamických vlastnostech jen stěží korektně rozhodnout. Předložená zpráva se podrobně zabývá dvěma navrhovanými robotickým architekturami pro potřeby moderních ultrazvukových kontrol svarových spojů komplexních potrubních systémů jaderných elektráren. Jedná se o sériové manipulátory se 4 DoF (3 translační a 1 rotační) typu **4R** a **RRPR**. Navržené architektury se zdají být dobrým kompromisem mezi složitostí modelu a manévrovatelností koncového efektoru. Třetí variantou je univerzální sériový manipulátor se 6 DoF (3 rotační a 3 translační) typu **6R**. Tato varianta je pouze zmíněna a její podrobná analýza bude pravděpodobně prezentována v navazujících technických zprávách. Hlavní náplní zprávy je kinematická a dynamická analýza předložených architektur, která tvoří nedílnou součást syntézy těchto robotických zařízení s ohledem na mechanickou konstrukci, dimenzování pohonů a převodovek, osazení vhodných čidel, atd. Virtuální simulační modely byly vytvořeny v prostředí Matlab/Simulink/SimMechanics.

2 Sériový manipulátor - Varianta 1

Sériový manipulátor v první variantě je tvořen čtyřmi rotačními aktuátory (manipulátor typu **4R**). První kloub manipulátoru reprezentuje pojezd po potrubí kruhového průřezu. Koncový efektor manipulátoru umožňuje posunutí UZ sondy libovolně v prostoru (3 translační DoF) a její orientaci vzhledem k svislé ose pojezdu (1 rotační DoF). Obrázek 2 znázorňuje schématické uspořádání manipulátoru včetně zavedených souřadných systémů (s.s.). Základní kinematický popis manipulátoru je realizován prostřednictvím Denavit-Hartenbergovy (D-H) úmluvy. D-H úmluva umožňuje systematické zavedení souřadných systémů ramen manipulátorů takovým způsobem, aby vzájemné polohové vztahy mezi jednotlivými rameny bylo možné popsat maximálně čtveřicí kinematických parametrů (D-H parametry), viz Pozn. 1

■ Poznámka 1 (Denavit-Hartenbergova úmluva)

Dnes snad nejnámější úmluva pro elegantní popis geometrie sériových manipulátorů. Předpokládejme dvě ramena manipulátoru *Link* $i - 1$ a *Link* i , která jsou spojena kloubem *Joint* i s jedním stupněm volnosti, viz Obrázek 1.



Obrázek 1: D-H úmluva

Definice s.s. $F_i = \{\mathbf{O}_i - \mathbf{x}_i \mathbf{y}_i \mathbf{z}_i\}$ za předpokladu znalosti s.s. $F_{i-1} = \{\mathbf{O}_{i-1} - \mathbf{x}_{i-1} \mathbf{y}_{i-1} \mathbf{z}_{i-1}\}$ dle D-H úmluvy je vyjádřena následovně:

- Zvol osu \mathbf{z}_i podél osy rotace, resp. translace kloubu *Joint i + 1* a osu \mathbf{z}'_i podél osy rotace, resp. translace kloubu *Joint i*
- Umístí počátek \mathbf{O}_i s.s. F_i do průsečíku osy \mathbf{z}_i a normály¹ os \mathbf{z}_{i-1} a \mathbf{z}_i . Umístí počátek \mathbf{O}'_i s.s. $F'_i = \{\mathbf{O}'_i - \mathbf{x}'_i \mathbf{y}'_i \mathbf{z}'_i\}$ do průsečíku osy \mathbf{z}_{i-1} a téže normály.
- Zvol osu \mathbf{x}_i a \mathbf{x}'_i podél normály ve směru od kloubu *Joint i* do kloubu *Joint i + 1*.
- Zvol osu \mathbf{y}_i a \mathbf{y}'_i tak, aby výsledné s.s. byly pravotočivé.

Lze snadno ukázat, že D-H úmluva nedefinuje jednoznačně umístění s.s. v následujících případech.

- Pro s.s. $F_0 = \{\mathbf{O}_0 - \mathbf{x}_0 \mathbf{y}_0 \mathbf{z}_0\}$ je určena jednoznačně pouze osa \mathbf{z}_0 (podle osy rotace, resp. translace prvního kloubu manipulátoru *Joint 1*). Osu \mathbf{x}_0 a počátek \mathbf{O}_0 lze proto volit libovolně. Osa \mathbf{y}_0 je pak určena tak, aby výsledný systém byl opět pravotočivým.
- Pro s.s. $F_n = \{\mathbf{O}_n - \mathbf{x}_n \mathbf{y}_n \mathbf{z}_n\}$, kde n je počet kloubů s jedním stupněm volnosti uvažovaného manipulátoru není jednoznačně určena osa \mathbf{z}_n , neboť kloub *Joint n + 1* již neexistuje. Osa \mathbf{x}_n však musí zůstat kolmá k ose \mathbf{z}_{n-1} .
- Pokud jsou dvě po sobě jdoucí osy kloubů (\mathbf{z}_{i-1} a \mathbf{z}_i) paralelní, jejich normála není jednoznačně definována (může být libovolně posunuta ve směru os kloubů).
- Pokud se dvě po sobě jdoucí osy kloubů (\mathbf{z}_{i-1} a \mathbf{z}_i) protínají (normála je nulové délky), osa \mathbf{x}_i bude volena tak, aby byla kolmá k rovině definované osami \mathbf{z}_{i-1} a \mathbf{z}_i . Její *kladný směr* však může být volen libovolně.

Nyní může být vzájemná poloha s.s. F_{i-1} a F_i popsána pouze pomocí čtyř D-H parametrů:

¹normála os \mathbf{x} a \mathbf{y} je spojnice těchto os s minimální vzdáleností svírající s osami pravý úhel

$a_i \dots$ vzdálenost mezi počátky O_i a O'_i

$d_i \dots$ vzdálenost mezi počátky O_{i-1} a O'_i

$\alpha_i \dots$ úhel mezi osami z_{i-1} a z_i daný pootočením s.s. F'_i podél osy x'_i

$\theta_i \dots$ úhel mezi osami x_{i-1} a x_i daný pootočením s.s. F_i podél osy z_{i-1}

Je zřejmé, že pro základní typy kloubů s jedním stupněm volnosti platí:

kloub *Joint i* je typu P proměnná definující pohyb kloubu je d_i , proměnné a_i , α_i , θ_i jsou konstanty definující geometrické uspořádání ramene *Link i*

kloub *Joint i* je typu R proměnná definující pohyb kloubu je θ_i , proměnné a_i , d_i , α_i jsou konstanty definující geometrické uspořádání ramene *Link i*

Transformační vztah, v našem případě homogenní transformační matice, mezi s.s. F_{i-1} a F_i je dán následujícím způsobem.

- Vyber s.s. F_{i-1}
- Posuň tento systém podél osy z_{i-1} o vzdálenost d_i a otoč jej okolo osy z_{i-1} o úhel $\theta_i \Rightarrow$ dostáváme s.s. F'_i . Matice přechodu²:

$$\mathbf{T}_i^{i-1} = \text{Trans}(z, d_i) \cdot \text{Rot}(z, \theta_i) = \begin{bmatrix} 1 & 0 & 0 & 0 \\ 0 & 1 & 0 & 0 \\ 0 & 0 & 1 & d_i \\ 0 & 0 & 0 & 1 \end{bmatrix} \cdot \begin{bmatrix} c_{\theta_i} & -s_{\theta_i} & 0 & 0 \\ s_{\theta_i} & c_{\theta_i} & 0 & 0 \\ 0 & 0 & 1 & 0 \\ 0 & 0 & 0 & 1 \end{bmatrix} = \begin{bmatrix} c_{\theta_i} & -s_{\theta_i} & 0 & 0 \\ s_{\theta_i} & c_{\theta_i} & 0 & 0 \\ 0 & 0 & 1 & d_i \\ 0 & 0 & 0 & 1 \end{bmatrix} \quad (1)$$

- Posuň s.s. F'_i podél osy x'_i o vzdálenost a_i a otoč jej okolo osy x'_i o úhel $\alpha_i \Rightarrow$ dostáváme s.s. F_i . Matice přechodu:

$$\mathbf{T}_i^{i'} = \text{Trans}(x, a_i) \cdot \text{Rot}(x, \alpha_i) = \begin{bmatrix} 1 & 0 & 0 & a_i \\ 0 & 1 & 0 & 0 \\ 0 & 0 & 1 & 0 \\ 0 & 0 & 0 & 1 \end{bmatrix} \cdot \begin{bmatrix} 1 & 0 & 0 & 0 \\ 0 & c_{\alpha_i} & -s_{\alpha_i} & 0 \\ 0 & s_{\alpha_i} & c_{\alpha_i} & 0 \\ 0 & 0 & 0 & 1 \end{bmatrix} = \begin{bmatrix} 1 & 0 & 0 & a_i \\ 0 & c_{\alpha_i} & -s_{\alpha_i} & 0 \\ 0 & s_{\alpha_i} & c_{\alpha_i} & 0 \\ 0 & 0 & 0 & 1 \end{bmatrix} \quad (2)$$

- Výsledná matice přechodu ze s.s. F_{i-1} do s.s. F_i je dána:

$$\begin{aligned} \mathbf{T}_i^{i-1} &= \mathbf{T}_i^{i'} \cdot \mathbf{T}_i^{i-1} = \text{Trans}(z, d_i) \cdot \text{Rot}(z, \theta_i) \cdot \text{Trans}(x, a_i) \cdot \text{Rot}(x, \alpha_i) = \\ &= \begin{bmatrix} c_{\theta_i} & -s_{\theta_i} c_{\alpha_i} & s_{\theta_i} s_{\alpha_i} & a_i c_{\theta_i} \\ s_{\theta_i} & c_{\theta_i} c_{\alpha_i} & -c_{\theta_i} s_{\alpha_i} & a_i s_{\theta_i} \\ 0 & s_{\alpha_i} & c_{\alpha_i} & d_i \\ 0 & 0 & 0 & 1 \end{bmatrix} \quad (3) \end{aligned}$$

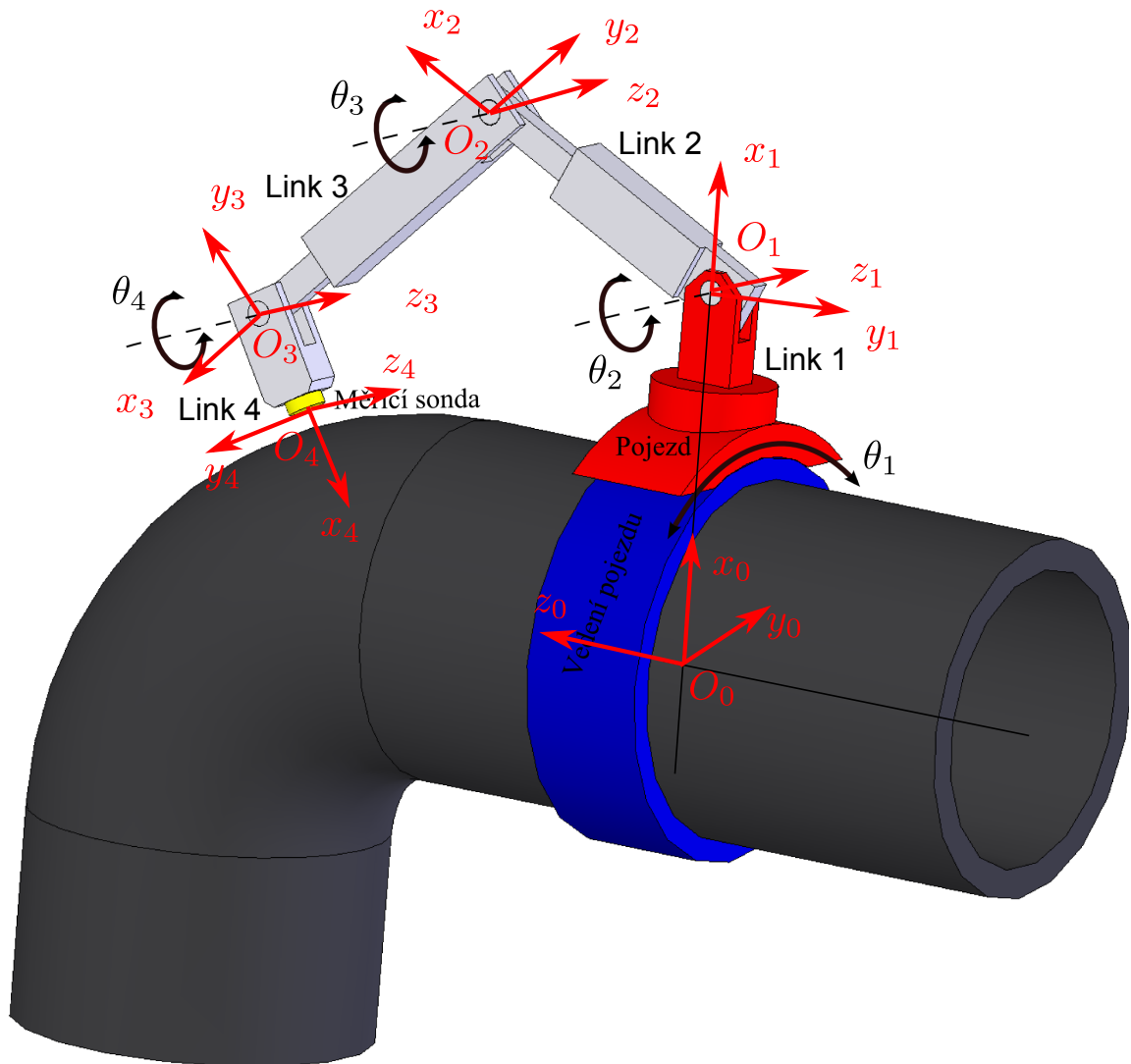
Připomeňme, že matice přechodu matice (3) je funkcí pouze kloubových souřadnic θ_i (pro rotační klouby R) a d_i (pro translační klouby P). ■

²Zkratka c_{θ_i} , resp. s_{θ_i} označuje $\cos \theta_i$, resp. $\sin \theta_i$.

D-H parametry manipulátoru pro vzájemnou polohu zavedených s.s. na Obrázku 2 lze stanovit následovně:

i	d_i	θ_i	a_i	α_i
1	0	θ_1	a_1	$-\frac{\pi}{2}$
2	0	θ_2	a_2	0
3	0	θ_3	a_3	0
4	0	θ_4	a_4	0

Tabulka 1: D-H parametry manipulátoru - Varianta 1



Obrázek 2: Sériový manipulátor - Varianta 1

Polohy rotačních kloubů manipulátoru jsou určeny kloubovými souřadnicemi \mathbf{Q} jako:

$$\mathbf{Q} = [\theta_1 \quad \theta_2 \quad \theta_3 \quad \theta_4]^T \quad (4)$$

Návrhové parametry manipulátoru ξ představují délky jednotlivých ramen:

$$\xi = [a_1 \quad a_2 \quad a_3 \quad a_4]^T \quad (5)$$

kde $a_1 = \|\mathbf{O}_0\mathbf{O}_1\|$, $a_2 = \|\mathbf{O}_1\mathbf{O}_2\|$, $a_3 = \|\mathbf{O}_2\mathbf{O}_3\|$, $a_4 = \|\mathbf{O}_3\mathbf{O}_4\|$.

Poloha koncového efektoru lze popsat zobecněnými souřadnicemi \mathbf{X} :

$$\mathbf{X} = [x \ y \ z \ \phi]^T \quad (6)$$

kde x, y, z jsou souřadnice bodu \mathbf{O}_4 vzhledem k s.s. F_0 a ϕ je vzájemné natočení s.s. F_4 a F_1 okolo osy z , tedy matice rotace $\mathbf{R}_4^1 = \text{rot}(z, \phi)^3$.

2.1 Přímá (PKÚ) a inverzní (IKÚ) kinematická úloha

Kinematickými úlohami rozumíme závislost zobecněných souřadnic manipulátoru na souřadnicích kloubových a naopak, tedy relace:

$$\mathbf{X} = \mathbf{G}(\mathbf{Q}) \quad (\text{PKÚ}) \quad (7)$$

$$\mathbf{Q} = \mathbf{G}^{-1}(\mathbf{X}) \quad (\text{IKÚ}) \quad (8)$$

Zatímco PKÚ je pro sériové manipulátory řešitelná vždy analyticky a má jednoznačné řešení, pro IKÚ toto obecně neplatí (nemusí existovat řešení v uzavřeném tvaru, existence více řešení). Avšak v případech námi uvažovaných architektur manipulátorů lze, s pomocí vhodné dekompozice, nalézt řešení IKÚ analyticky.

PKÚ:

PKÚ manipulátoru lze přímo vyjádřit postupným vynásobením homogenních transformačních matic, odpovídajícím D-H parametrům z Tabulky 1.

Pro pozici bodu koncového efektoru platí:

$$\begin{aligned} \mathbf{T}_4^0(\mathbf{Q}, \boldsymbol{\xi}) &= \mathbf{T}_1^0(\theta_1) \cdot \mathbf{T}_2^1(\theta_2) \cdot \mathbf{T}_3^2(\theta_3) \cdot \mathbf{T}_4^3(\theta_4) \\ [x \ y \ z]^T &= \mathbf{O}_4^0 = \mathbf{T}(\mathbf{Q}, \boldsymbol{\xi})_4^0[1 : 3, 4] \end{aligned} \quad (9)$$

Pro orientaci koncového efektoru pak platí:

$$\mathbf{T}_4^1(\mathbf{Q}, \boldsymbol{\xi}) = \mathbf{T}_2^1(\theta_2) \cdot \mathbf{T}_3^2(\theta_3) \cdot \mathbf{T}_4^3(\theta_4) \quad (10)$$

$$\mathbf{R}_4^1 = \mathbf{T}_4^1(\mathbf{Q}, \boldsymbol{\xi})[1 : 3, 1 : 3] = \begin{bmatrix} \cos \phi & -\sin \phi & 0 \\ \sin \phi & \cos \phi & 0 \\ 0 & 0 & 1 \end{bmatrix}$$

$$\phi = \text{atan2}(\mathbf{R}_4^1[2, 1], \mathbf{R}_4^1[1, 1])$$

IKÚ:

IKÚ lze stanovit pomocí dekompozice manipulátoru na jednodušší 2 DoF architekturu - planární manipulátor typu $2\mathbf{R}$ tvořený rameny *Link 2*, *Link 3* a umístěný vzhledem k s.s. F_1 .

První kloubovou souřadnicí lze stanovit přímo z polohy bodu \mathbf{O}_4^0 jako:

$$\theta_1 = \text{atan2}(\mathbf{O}_4^0[2], \mathbf{O}_4^0[1]) \quad (11)$$

³označení $\text{rot}(z, \phi) = \text{Rot}(z, \phi)[1 : 3, 1 : 3]$, viz Pozn. 1 a označení $\mathbf{T}[c : d]$ označuje a -tý až b -tý řádek a c -tý až d -tý sloupec matice \mathbf{T}

Poloha \mathbf{O}_3 koncového efektoru $2\mathbf{R}$ manipulátoru vzhledem k s.s. F_1 lze určit posunutím polohy bodu \mathbf{O}_4 ve směru osy \mathbf{x} s.s. F_4 :

$$\mathbf{O}_3^1 = \mathbf{O}_4^1 - \mathbf{R}_4^1[:, 1] \cdot a_4 \quad (12)$$

kde

$$\mathbf{R}_4^1 = \begin{bmatrix} \cos \phi & -\sin \phi & 0 \\ \sin \phi & \cos \phi & 0 \\ 0 & 0 & 1 \end{bmatrix}$$

$$\mathbf{O}_4^1 = (\mathbf{T}_1^0(\theta_1))^{-1} \cdot \mathbf{O}_4^0$$

kde $\mathbf{T}_1^0(\theta_1)$ je již známá transformační matice.

Je zřejmé, že souřadnice bodu \mathbf{O}_3 musí odpovídat svým tvarem součinu příslušejících transformačních matic, tedy porovnáním:

$$\mathbf{O}_3^1 = \begin{bmatrix} w_x & w_y & 0 \end{bmatrix}^T \stackrel{!}{=} \mathbf{T}_3^1(\theta_2, \theta_3) \quad (13)$$

kde $\mathbf{T}_3^1(\theta_2, \theta_3) = \mathbf{T}_2^1(\theta_2) \cdot \mathbf{T}_3^2(\theta_3)$.

Dostáváme soustavu dvou rovnic pro neznámé⁴ θ_2, θ_3 .

$$w_x = a_3 \cos \theta_{2,3} + a_2 \cos \theta_2 \quad (14)$$

$$w_y = a_3 \sin \theta_{2,3} + a_2 \sin \theta_2 \quad (15)$$

Umocněním a sečtením (14), (15) dostáváme:

$$w_x^2 + w_y^2 = a_3^2 + a_2^2 + 2a_2a_3 \cos \theta_3$$

$$\cos \theta_3 = \frac{w_x^2 + w_y^2 - a_2^2 - a_3^2}{2a_2a_3} \quad (16)$$

$$\sin^2 \theta_3 + \cos^2 \theta_3 = 1 \Rightarrow \sin \theta_3 = \pm \sqrt{1 - \cos^2 \theta_3} \quad (17)$$

Tedy;

$$\theta_3 = \text{atan2}(\sin \theta_3, \cos \theta_3) \quad (18)$$

Řešením soustavy rovnic:

$$w_x = a_3 \cos \theta_{2,3} + a_2 \cos \theta_2 \quad (19)$$

$$w_y = a_3 \sin \theta_{2,3} + a_2 \sin \theta_2 \quad (20)$$

pro neznámé $\sin \theta_2, \cos \theta_2$ dostáváme:

$$\sin \theta_2 = \frac{-a_3 \sin \theta_3 w_x + (a_2 + a_3 \cos \theta_3) w_y}{w_x^2 + w_y^2} \quad (21)$$

$$\cos \theta_2 = \frac{(a_2 + a_3 \cos \theta_3) w_x + a_3 \sin \theta_3 w_y}{w_x^2 + w_y^2} \quad (22)$$

Tedy;

$$\theta_2 = \text{atan2}(\sin \theta_2, \cos \theta_2) \quad (23)$$

Poslední kloubová souřadnice lze stanovit jednoduše rozdílem:

$$\theta_4 = \phi - \theta_2 - \theta_3 \quad (24)$$

Z rovnice (17) tedy vyplývají dvě řešení IKÚ.

⁴ $\sin \theta_{2,3} = \sin(\theta_2 + \theta_3)$

2.2 Závislosti rychlostí a zrychlení

Aby bylo možné stanovit korektní dynamický model manipulátoru, je nezbytně nutné znát kromě polohových závislostí také závislosti rychlostí a zrychlení. Závislost rychlosti $\dot{\mathbf{Q}}$ a zrychlení $\ddot{\mathbf{Q}}$ kloubových souřadnic na poloze \mathbf{X} , rychlosti $\dot{\mathbf{X}}$ a zrychlení $\ddot{\mathbf{X}}$ zobecněných souřadnic nazýváme inverzní *okamžitou* kinematickou úlohou (IOKÚ) a opačně přímou *okamžitou* kinematickou úlohou (POKÚ). Intuitivně je patrné, že IOKÚ by bylo možné odvodit od IKÚ přímou časovou derivací rovnice (8) potažmo rovnic v z Kapitoly 2.1. Přesto, že tento postup je možný (zejména využitím různých softwarových nástrojů pro symbolické derivování - Maple, Mathematica, atd.), většinou vede na složité, mnohačlenné vztahy, které jsou pro implementaci do řídicích algoritmů nevhodné. Alternativním přístupem je systematická geometrická metoda, podrobně odvozená v [4]. Metoda je stručně shrnuta v Poznámce 2.

■ Poznámka 2 (Výpočet rychlostí v kloubech manipulátoru - geometrický přístup)

Translační rychlost $\dot{\mathbf{O}}_i^0$ a úhlovou rychlost $\boldsymbol{\omega}_i^0$ i -tého s.s. F_i vzhledem k s.s. F_0 lze psát jako:

$$\begin{bmatrix} \dot{\mathbf{O}}_i^0 \\ \boldsymbol{\omega}_i^0 \end{bmatrix} = \underbrace{\begin{bmatrix} \mathbf{j}_1^p & \mathbf{j}_2^p & \cdots & \mathbf{j}_j^p & \cdots & \mathbf{j}_i^p \\ \mathbf{j}_1^o & \mathbf{j}_2^o & \cdots & \mathbf{j}_j^o & \cdots & \mathbf{j}_i^o \end{bmatrix}}_{\mathbf{J}_i(\mathbf{Q})} \begin{bmatrix} \dot{q}_1 \\ \dot{q}_2 \\ \vdots \\ \dot{q}_j \\ \vdots \\ \dot{q}_i \end{bmatrix} \quad (25)$$

Tedy:

$$\begin{aligned} \dot{\mathbf{O}}_i^0 &= \mathbf{j}_1^p \cdot \dot{q}_1 + \mathbf{j}_2^p \cdot \dot{q}_2 + \cdots + \mathbf{j}_j^p \cdot \dot{q}_j + \cdots + \mathbf{j}_i^p \cdot \dot{q}_i \\ \boldsymbol{\omega}_i^0 &= \mathbf{j}_1^o \cdot \dot{q}_1 + \mathbf{j}_2^o \cdot \dot{q}_2 + \cdots + \mathbf{j}_j^o \cdot \dot{q}_j + \cdots + \mathbf{j}_i^o \cdot \dot{q}_i \end{aligned} \quad (26)$$

kde $j = 1 \dots i$ a sloupcové subvektory $\begin{bmatrix} \mathbf{j}_j^p \\ \mathbf{j}_j^o \end{bmatrix}$, $\mathbf{j}_j^p \in \mathbb{R}^3$ respektive $\mathbf{j}_j^o \in \mathbb{R}^3$ kinematického jakobiánu $\mathbf{J}_i(\mathbf{Q})$, zprostředkovávají příspěvek j -tého kloubu q_j do celkové translační respektive úhlové rychlosti s.s. F_i vzhledem k s.s. F_0 .

Lze snadno ukázat, že příspěvek translační rychlosti $\dot{\mathbf{v}}_{j,i}^0$ a úhlové rychlosti $\boldsymbol{\omega}_{j,i}^0$ do s.s. F_i (vyjádřenou vzhledem k s.s. F_0) způsobenou pohybem j -tého kloubu, lze pro konkrétní typy kloubů a zavedení popisu s.s. dle D-H úmluvy vyjádřit jako:

- *Joint* j je typu **P** ($q_j = d_j$):

$$\begin{aligned} \boldsymbol{\omega}_{j,i}^0 &= \mathbf{0} \\ \dot{\mathbf{v}}_{j,i}^0 &= \dot{d}_j \cdot \mathbf{z}_{j-1}^0 \end{aligned} \quad (27)$$

- *Joint* j je typu **R** ($q_j = \theta_j$):

$$\begin{aligned} \boldsymbol{\omega}_{j,i}^0 &= \dot{\theta}_j \cdot \mathbf{z}_{j-1}^0 \\ \dot{\mathbf{v}}_{j,i}^0 &= \boldsymbol{\omega}_{j,i}^0 \times \mathbf{r}_{j-1,i}^0 = \dot{\theta}_j \cdot \mathbf{z}_{j-1}^0 \times \mathbf{r}_{j-1,i}^0 \end{aligned} \quad (28)$$

kde \mathbf{z}_j^0 je osa \mathbf{z} s.s. F_j a $\mathbf{r}_{j,i}^0 = \mathbf{O}_i^0 - \mathbf{O}_j^0$ je vzájemná translační poloha s.s. F_j a F_i . Při znalosti matic přechodu \mathbf{T}_j^0 je zřejmé, že:

$$\mathbf{z}_j^0 = \mathbf{T}_j^0[1 : 3, 3] \quad \text{a} \quad \mathbf{r}_{j,i}^0 = \mathbf{T}_i^0[1 : 3, 4] - \mathbf{T}_j^0[1 : 3, 4] \quad (29)$$

Sloupcové subvektory \mathbf{j}_j^p a \mathbf{j}_j^o lze tedy s ohledem na (26) psát jako:

- *Joint* j je typu **P** ($q_j = d_j$):

$$\begin{bmatrix} \mathbf{j}_j^p \\ \mathbf{j}_j^o \end{bmatrix} = \begin{bmatrix} \mathbf{z}_{j-1}^0 \\ \mathbf{0} \end{bmatrix} \quad (30)$$

- *Joint* j je typu **R** ($q_j = \theta_j$):

$$\begin{bmatrix} \mathbf{j}_j^p \\ \mathbf{j}_j^o \end{bmatrix} = \begin{bmatrix} \mathbf{z}_{j-1}^0 \times \mathbf{r}_{j-1,i}^0 \\ \mathbf{z}_{j-1}^0 \end{bmatrix} \quad (31)$$

Výsledný kinematický jakobián $\mathbf{J}_i(\mathbf{Q})$ je tedy přímo dán rovnicemi (30), (31), (29) a lze určit pomocí dílčích matic přechodu \mathbf{T}_i^{i-1} s.s. manipulátoru.

Pro efektivní výpočet translační rychlosti $\dot{\mathbf{O}}_i$ a úhlové rychlosti $\boldsymbol{\omega}_i$ (tedy POKŮ pro libovolný s.s. v kinematickém řetězci manipulátoru) lze nastíněný postup modifikovat na následující zobecněný rekurzivní algoritmus pro libovolný typ kloubů.

Definujme pomocnou proměnnou σ_i , pro kterou platí:

$$\begin{aligned} \sigma_j &= 0 & \text{pokud } \textit{Joint } j & \text{ je typu } \mathbf{R} (q_j = \theta_j) \\ \sigma_j &= 1 & \text{pokud } \textit{Joint } j & \text{ je typu } \mathbf{P} (q_j = d_j) \\ \bar{\sigma}_j &= 1 - \sigma_j \end{aligned}$$

Z rovnic (26), (30) a (31) vyplývá následující rekurzivní schéma vzhledem k s.s. F_0 :

$$\boldsymbol{\omega}_j^0 = \boldsymbol{\omega}_{j-1}^0 + \mathbf{z}_{j-1}^0 \bar{\sigma}_j \dot{q}_j \quad (32)$$

$$\dot{\mathbf{O}}_j^0 = \dot{\mathbf{O}}_{j-1}^0 + \boldsymbol{\omega}_j^0 \times \mathbf{r}_{j-1,j}^0 + \mathbf{z}_{j-1}^0 \sigma_j \dot{q}_j \quad (33)$$

■

Z uvedeného postupu výpočtu rychlosti kloubových souřadnic v Poznámce 2 vyplývá, že pro danou polohu manipulátoru vždy existuje lineární závislost mezi rychlostmi kloubových a zobecněných souřadnic, která je dána kinematickým jakobiánem $\mathbf{J}_n(\mathbf{Q})$, kde n označuje počet aktuátorů manipulátoru. V případě námi uvažovaného manipulátoru lze translační rychlosti koncového efektoru $\dot{\mathbf{O}}_4^0$ vyjádřit prostřednictvím kinematického jakobiánu $\mathbf{J}_4^0(\mathbf{Q})$ (horní index označuje vztažný s.s.) a úhlovou rychlost $\boldsymbol{\omega}_4^1 = [0 \ 0 \ \dot{\phi}]^T$ prostřednictvím kinematického jakobiánu $\mathbf{J}_4^1(\theta_2, \theta_3, \theta_4)$ následovně:

$$\begin{bmatrix} \dot{\mathbf{O}}_4^0 \\ \boldsymbol{\omega}_4^0 \end{bmatrix} = \mathbf{J}_4^0(\mathbf{Q}) \cdot \dot{\mathbf{Q}}, \quad \begin{bmatrix} \dot{\mathbf{O}}_4^1 \\ \boldsymbol{\omega}_4^1 \end{bmatrix} = \mathbf{J}_4^1(\theta_2, \theta_3, \theta_4) \cdot \begin{bmatrix} \dot{\theta}_2 \\ \dot{\theta}_3 \\ \dot{\theta}_4 \end{bmatrix} \quad (34)$$

Kde kinematické jakobiány \mathbf{J}_4^0 a \mathbf{J}_4^1 jsou vypočítány postupem z Poznámky 2.

Výsledný kinematický jakobián celého manipulátoru $\mathbf{J}_4(\mathbf{Q})$ a řešení POKŮ a IOKŮ pro rychlosti lze souhrně psát jako:

$$\dot{\mathbf{X}} = \begin{bmatrix} \dot{\mathbf{O}}_4^0 \\ \dot{\phi} \end{bmatrix} = \underbrace{\begin{bmatrix} \mathbf{J}_4^0(\mathbf{Q})[1:3, :] \\ 0 \ \mathbf{J}_4^1(\theta_2, \theta_3, \theta_4)[6, :] \end{bmatrix}}_{\mathbf{J}_4(\mathbf{Q})} \cdot \dot{\mathbf{Q}} \quad (\text{POKŮ}) \quad (35)$$

$$\dot{\mathbf{Q}} = (\mathbf{J}_4(\mathbf{Q}))^{-1} \cdot \dot{\mathbf{X}} \quad (\text{IOKŮ}) \quad (36)$$

Chceme-li dále počítat POKŮ a IOKŮ pro zrychlení, je zřejmé, že potřebujeme znát i časovou derivaci kinematického jakobiánu. Poznámka 3 předkládá systematický geometrický přístup pro takový výpočet, jehož detailní odvození lze opět nalézt v [4].

■ **Poznámka 3 (Výpočet zrychlení v kloubech manipulátoru - geometrický přístup)**
 Translační zrychlení $\ddot{\mathbf{O}}_i^0$ a úhlové zrychlení $\ddot{\boldsymbol{\omega}}_i^0$ s.s. F_i vzhledem k s.s. F_0 lze stanovit přímou časovou derivací z rovnice (25) jako:

$$\begin{bmatrix} \ddot{\mathbf{O}}_i^0 \\ \ddot{\boldsymbol{\omega}}_i^0 \end{bmatrix} = \mathbf{J}_i^p(\boldsymbol{\Theta}) \cdot \begin{bmatrix} \dot{q}_1 \\ \dot{q}_2 \\ \vdots \\ \dot{q}_j \\ \vdots \\ \dot{q}_i \end{bmatrix} + \mathbf{J}_i^o(\boldsymbol{\Theta}) \cdot \begin{bmatrix} \ddot{q}_1 \\ \ddot{q}_2 \\ \vdots \\ \ddot{q}_j \\ \vdots \\ \ddot{q}_i \end{bmatrix} \quad (37)$$

Tedy:

$$\ddot{\mathbf{O}}_i^0 = \dot{\mathbf{j}}_1^p \cdot \dot{q}_1 + \dot{\mathbf{j}}_2^p \cdot \dot{q}_2 + \cdots + \dot{\mathbf{j}}_j^p \cdot \dot{q}_j + \cdots + \dot{\mathbf{j}}_i^p \cdot \dot{q}_i + \dot{\mathbf{j}}_1^o \cdot \ddot{q}_1 + \dot{\mathbf{j}}_2^o \cdot \ddot{q}_2 + \cdots + \dot{\mathbf{j}}_j^o \cdot \ddot{q}_j + \cdots + \dot{\mathbf{j}}_i^o \cdot \ddot{q}_i \quad (38)$$

$$\ddot{\boldsymbol{\omega}}_i^0 = \dot{\mathbf{j}}_1^o \cdot \ddot{q}_1 + \dot{\mathbf{j}}_2^o \cdot \ddot{q}_2 + \cdots + \dot{\mathbf{j}}_j^o \cdot \ddot{q}_j + \cdots + \dot{\mathbf{j}}_i^o \cdot \ddot{q}_i + \dot{\mathbf{j}}_1^p \cdot \dot{q}_1 + \dot{\mathbf{j}}_2^p \cdot \dot{q}_2 + \cdots + \dot{\mathbf{j}}_j^p \cdot \dot{q}_j + \cdots + \dot{\mathbf{j}}_i^p \cdot \dot{q}_i$$

Časová derivace kinematického jakobiánu $\dot{\mathbf{J}}_i(\boldsymbol{\Theta})$ je dána časovými derivacemi jeho dílčích prvků, tedy jeho sloupců, viz rovnice (30),(31):

- *Joint j* je typu **P** ($q_j = d_j$):

$$\begin{bmatrix} \dot{\mathbf{j}}_j^p \\ \dot{\mathbf{j}}_j^o \\ \dot{\mathbf{j}}_j \end{bmatrix} = \begin{bmatrix} \dot{z}_{j-1}^0 \\ \mathbf{0} \end{bmatrix} \quad (39)$$

- *Joint j* je typu **R** ($q_j = \theta_j$):

$$\begin{bmatrix} \dot{\mathbf{j}}_j^p \\ \dot{\mathbf{j}}_j^o \\ \dot{\mathbf{j}}_j \end{bmatrix} = \begin{bmatrix} \dot{z}_{j-1}^0 \times \mathbf{r}_{j-1,i}^0 + \mathbf{z}_{j-1}^0 \times \dot{\mathbf{r}}_{j-1,i}^0 \\ \dot{z}_{j-1}^0 \end{bmatrix} \quad (40)$$

kde $\dot{\mathbf{r}}_{j-1,i}^0 = \dot{\mathbf{O}}_i^0 - \dot{\mathbf{O}}_{j-1}^0$ a $\mathbf{z}_i^0 = \mathbf{T}_i^0[1 : 3, 4]$.

Translační rychlosti $\dot{\mathbf{O}}_i^0$ a úhlovou rychlost $\boldsymbol{\omega}_i^0$ lze vypočítat jako v rovnici (25) či pomocí rekursivního algoritmu (32), (33).

Časovou derivaci osy \dot{z}_i^0 lze se znalostí $\boldsymbol{\omega}_i^0$ určit jako:

$$\dot{z}_i^0 = \boldsymbol{\omega}_i^0 \times \mathbf{z}_i^0 \quad (41)$$

■

Analogicky jako při výpočtu kinematického jakobiánu kompletního manipulátoru, viz rovnice (35) lze podle algoritmu v Poznámce 3 stanovit derivaci kompletního kinematického jakobiánu manipulátoru $\dot{\mathbf{J}}_4(\mathbf{Q}, \dot{\mathbf{Q}})$:

$$\dot{\mathbf{J}}_4(\mathbf{Q}, \dot{\mathbf{Q}}) = \begin{bmatrix} \mathbf{J}_4^0(\mathbf{Q}, \dot{\mathbf{Q}})[1 : 3, :] \\ 0 \quad \mathbf{J}_4^1(\theta_2, \theta_3, \theta_4, \dot{\theta}_2, \dot{\theta}_3, \dot{\theta}_4)[6, :] \end{bmatrix} \quad (42)$$

Kde derivace kinematických jakobiánů $\dot{\mathbf{J}}_4^0$ a $\dot{\mathbf{J}}_4^1$ jsou vypočítány postupem z Poznámky 3.

Řešení POKÚ a IOKÚ pro zrychlení lze pak psát ve tvaru:

$$\ddot{\mathbf{X}} = \begin{bmatrix} \ddot{O}_0^4 \\ \ddot{\phi} \end{bmatrix} = \dot{\mathbf{J}}_4(\mathbf{Q}, \dot{\mathbf{Q}}) \cdot \dot{\mathbf{Q}} + \mathbf{J}_4(\mathbf{Q}) \cdot \ddot{\mathbf{Q}} \quad (\text{POKÚ}) \quad (43)$$

$$\ddot{\mathbf{Q}} = (\mathbf{J}_4(\mathbf{Q}))^{-1} \cdot (\ddot{\mathbf{X}} - \dot{\mathbf{J}}_4(\mathbf{Q}, \dot{\mathbf{Q}}) \cdot \dot{\mathbf{Q}}) \quad (\text{IOKÚ}) \quad (44)$$

Výsledný dynamický simulační model byl realizován v prostředí Matlab/Simulink/SimMechanics [2]. Požadované polohy, rychlosti a zrychlení kloubových souřadnic jsou generovány výše uvedenými kinematickými modely (IKÚ, IOKÚ) z požadované trajektorie pohybu koncového efektoru manipulátoru. Požadovaná trajektorie koncového efektoru manipulátoru byla složena ze dvou primitivních trajektorií - přímky a kružnice. Výsledný testovací pohyb manipulátoru lze charakterizovat následovně:

- **Přibližovací fáze**

Posun polohy koncového efektoru \mathbf{X} z bodu \mathbf{A} do bodu \mathbf{B} po přímce:

$$\mathbf{A} = [0.7 \quad 0.3 \quad 0.2 \quad \frac{3}{2}\pi]^T [m, m, m, rad]$$

$$\mathbf{B} = [R \quad 0 \quad L \quad \pi]^T [m, m, m, rad]$$

- **Testovací fáze**

Posun pozice (translace) koncového efektoru \mathbf{X} z bodu \mathbf{B} do totožného bodu po kružnici kolmé k ose z s.s. F_0 s poloměrem $R = 0.5 [m]$ v kolmé vzdálenosti $L = 0.4 [m]$ od počátku s.s. F_0 . Úhel natočení ϕ zůstává konstantní $\phi = \pi$.

- **Oddalovací fáze**

Posun polohy koncového efektoru \mathbf{X} z bodu \mathbf{B} zpět do bodu \mathbf{A} po přímce.

- **Omezení na rychlost v_{max} a zrychlení a_{max} v zobecněných souřadnicích \mathbf{X}** (časově optimální trajektorie - přepínání mezi a_{max} a $-a_{max}$, viz např. [3]):

$$a_{max} = 1 \left[\frac{m}{s^2} \right], \quad v_{max} = 1 \left[\frac{m}{s} \right]$$

- směr působení gravitace je volen v záporném směru osy x s.s. F_0

Parametry manipulátoru byly voleny jako:

- Kinematické parametry:

$$\boldsymbol{\xi} = [0.5 \quad 0.3 \quad 0.2 \quad 0.1]^T [m, m, m, m]$$

- Dynamické parametry:

– *Link 1* (pojezd - hmotný bod):

hmotnost: $m_1 = 5 [kg]$, poloha těžiště (vzhledem k s.s. F_1): $cg_1 = [-0.1 \quad 0 \quad 0]^T [m]$

– *Link 2* (rameno - tenká plná tyč poloměru 0.01 m):

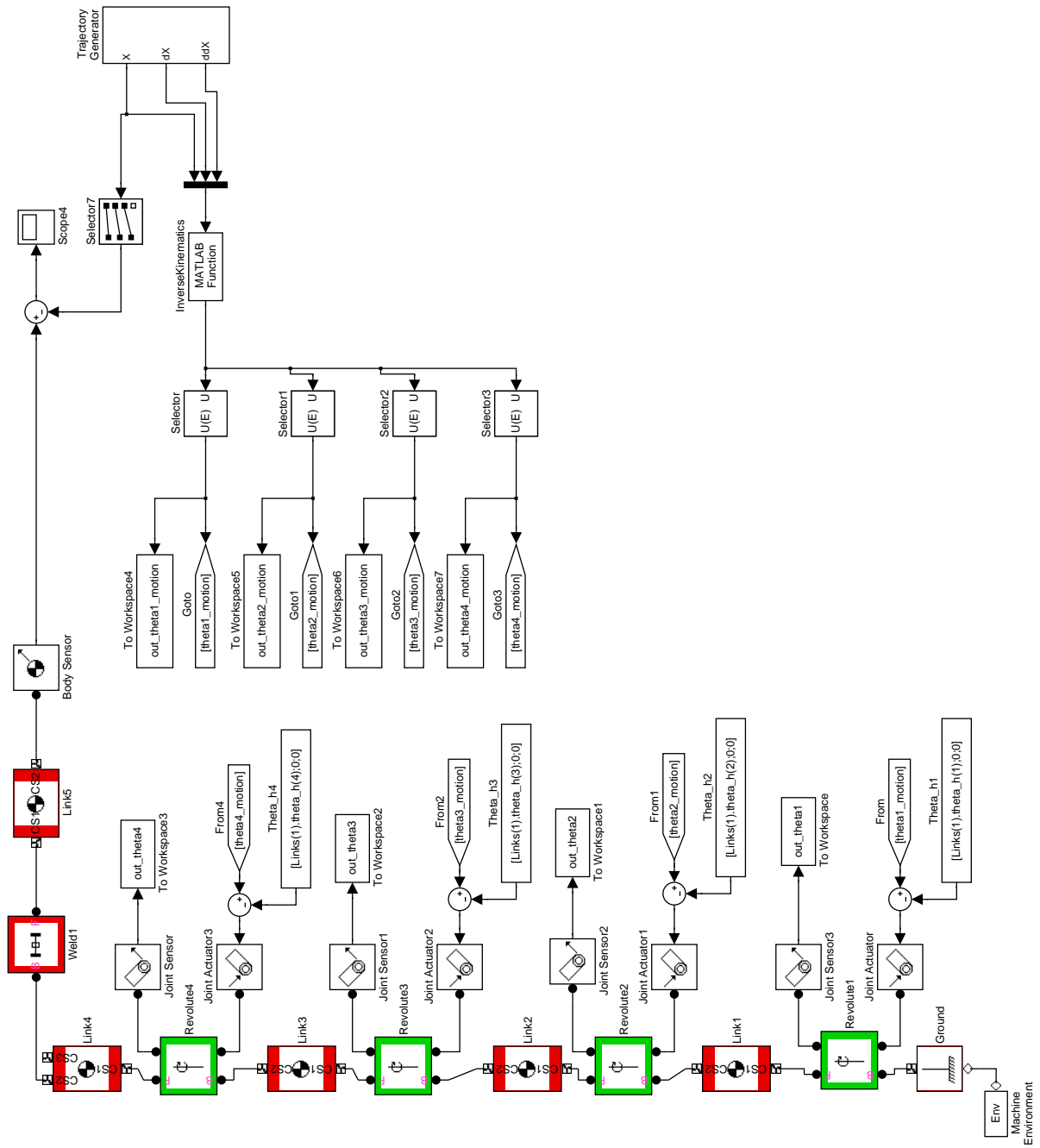
hmotnost: $m_2 = 0.74 [kg]$, poloha těžiště (vzhledem k s.s. F_2): $cg_2 = [-0.15 \quad 0 \quad 0]^T [m]$,
matice setrvačnosti $I_2 = \text{diag}(5.5 \cdot 10^{-3}, 5.5 \cdot 10^{-3}, 3.7 \cdot 10^{-5}) [kg \cdot m^2]$

– *Link 3* (rameno - tenká plná tyč poloměru 0.01 m):

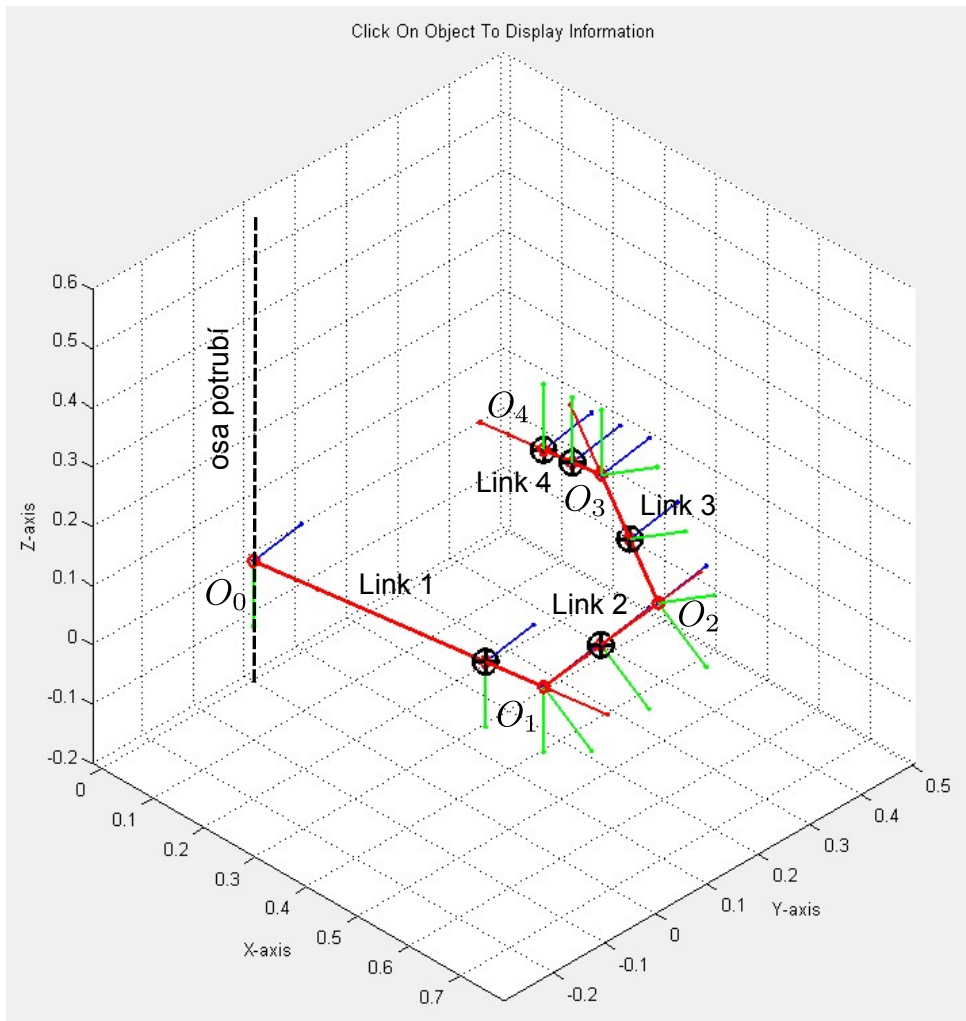
hmotnost: $m_3 = 0.49 [kg]$, poloha těžiště (vzhledem k s.s. F_3): $cg_3 = [-0.1 \quad 0 \quad 0]^T [m]$,
matice setrvačnosti $I_3 = \text{diag}(1.6 \cdot 10^{-3}, 1.6 \cdot 10^{-3}, 2.5 \cdot 10^{-5}) [kg \cdot m^2]$

- *Link 4* (rameno - tenká plná tyč poloměru 0.01 m):
 hmotnost: $m_4 = 0.25 [kg]$, poloha těžiště (vzhledem k s.s. F_4): $cg_4 = [-0.05 \ 0 \ 0]^T [m]$,
 matice setrvačnosti $I_4 = \text{diag}(2.1 \cdot 10^{-4}, 2.1 \cdot 10^{-4}, 1.2 \cdot 10^{-5}) [kg \cdot m^2]$
- břemeno (UZ sonda - hmotný bod):
 hmotnost: $m_5 = 0.3 [kg]$, umístěn v počátku s.s. F_4

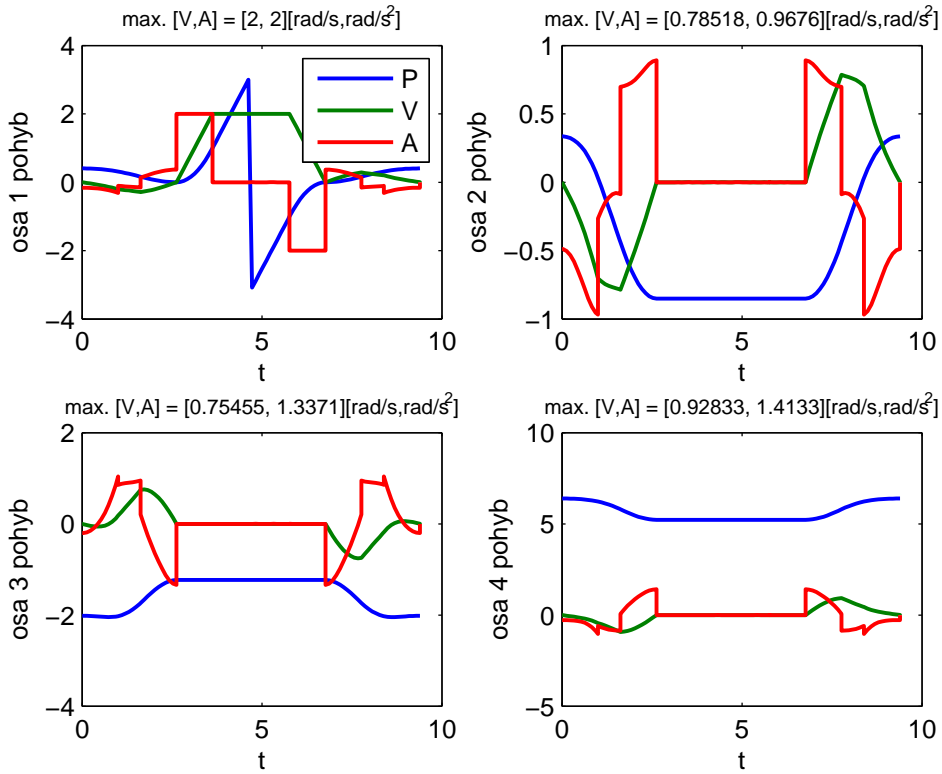
Obrázek 3 znázorňuje simulační schéma v prostředí Simulink/SimMechanics a Obrázek 4 zjednodušenou vizualizaci manipulátoru. Vzhledem k faktu, že známe polohy, rychlosti i zrychlení kloubových souřadnic manipulátoru, viz Obrázek 5, umožňuje SimMechanics simulovat model v režimu tzv. *inverzní dynamiky*. Právě tento režim simulace hraje klíčovou roli v analýze a návrhu komponent manipulátoru (ramena, aktuátory, převodovky, atd.) a plánování požadované trajektorie, neboť nám poskytuje požadované síly a silové momenty ve všech kloubech manipulátoru, viz Obrázek 6, které jsou zapotřebí pro generování požadovaného pohybu.



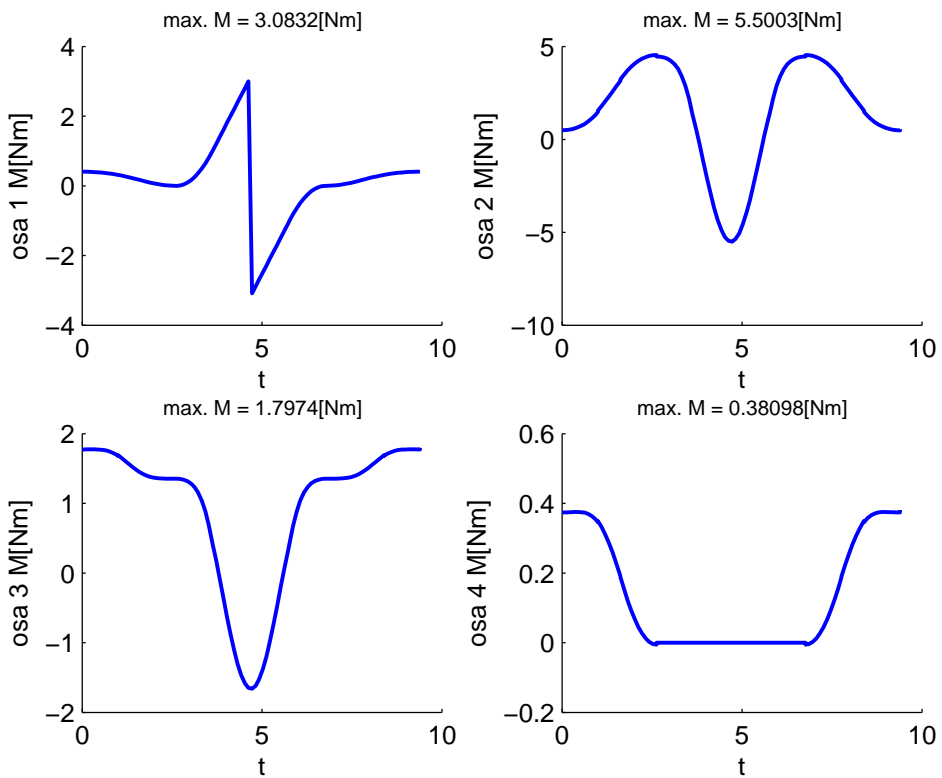
Obrázek 3: Simulační model v SimMechanicsu - Varianta 1



Obrázek 4: Simulační model v SimMechanicsu - Varianta 1



Obrázek 5: Polohy Q , rychlosti \dot{Q} a zrychlení \ddot{Q} kloubových souřadnic - Varianta 1



Obrázek 6: Požadované momenty v kloubech manipulátoru - Varianta 1

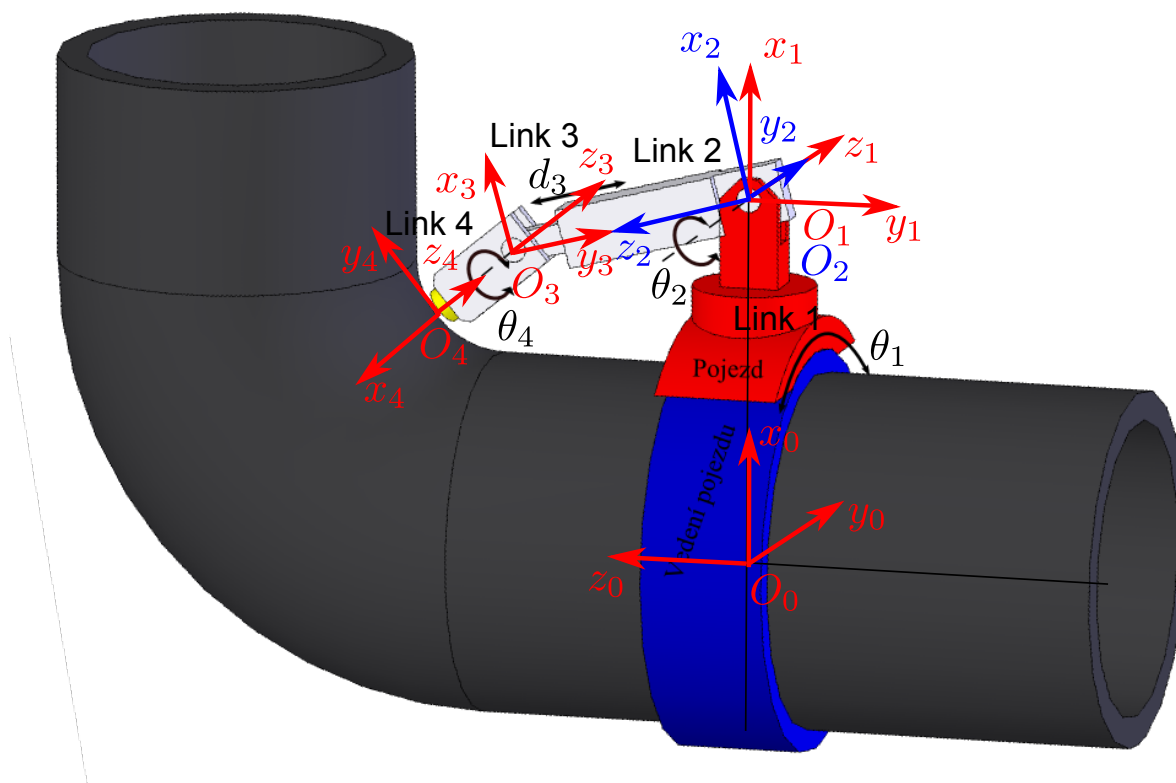
3 Sériový manipulátor - Varianta 2

Sériový manipulátor v druhé variantě je tvořen třemi rotačními aktuátory a jedním aktuátorem prismatickým (manipulátor typu **RRPR**). První kloub manipulátoru opět reprezentuje pojezd po potrubí kruhového průřezu. Koncový efektor manipulátoru opět umožňuje posunutí UZ sondy libovolně v prostoru (3 translační DoF) a její orientaci vzhledem k svislé ose pojezdu (1 rotační DoF). Obrázek 7 znázorňuje schématické uspořádání manipulátoru včetně zavedených souřadných systémů dle D-H úmluvy.

D-H parametry manipulátoru pro vzájemnou polohu zavedených s.s. na Obrázku 7 lze stanovit následovně:

i	d_i	θ_i	a_i	α_i
1	0	θ_1	a_1	$-\frac{\pi}{2}$
2	0	θ_2	0	$\frac{\pi}{2}$
3	d_3	0	0	$-\frac{\pi}{2}$
4	0	θ_4	a_4	0

Tabulka 2: D-H parametry manipulátoru - Varianta 2



Obrázek 7: Sériový manipulátor - Varianta 2

Polohy kloubů manipulátoru jsou určeny kloubovými souřadnicemi \mathbf{Q} jako:

$$\mathbf{Q} = [\theta_1 \quad \theta_2 \quad d_3 \quad \theta_4]^T \quad (45)$$

Návrhové parametry manipulátoru ξ představují délky jednotlivých ramen:

$$\xi = [a_1 \quad a_4]^T \quad (46)$$

kde $a_1 = \|\mathbf{O}_0\mathbf{O}_1\|$, $a_4 = \|\mathbf{O}_3\mathbf{O}_4\|$.

Poloha koncového efektoru lze popsat zobecněnými souřadnicemi \mathbf{X} :

$$\mathbf{X} = [x \ y \ z \ \phi]^T \quad (47)$$

kde x, y, z jsou souřadnice bodu \mathbf{O}_4 vzhledem k s.s. F_0 a ϕ je vzájemné natočení s.s. F_4 a F_1 okolo osy z , tedy matice rotace $\mathbf{R}_4^1 = \text{rot}(z, \phi)$.

3.1 Přímá (PKÚ) a inverzní (IKÚ) kinematická úloha

PKÚ:

PKÚ manipulátoru lze opět přímo vyjádřit postupným vynásobením homogenních transformačních matic, odpovídajícím D-H parametrům z Tabulky 2.

Pro pozici bodu koncového efektoru platí:

$$\begin{aligned} \mathbf{T}_4^0(\mathbf{Q}, \boldsymbol{\xi}) &= \mathbf{T}_1^0(\theta_1) \cdot \mathbf{T}_2^1(\theta_2) \cdot \mathbf{T}_3^2(d_3) \cdot \mathbf{T}_4^3(\theta_4) \\ [x \ y \ z]^T &= \mathbf{O}_4^0 = \mathbf{T}(\mathbf{Q}, \boldsymbol{\xi})_4^0[1 : 3, 4] \end{aligned} \quad (48)$$

Pro orientaci koncového efektoru pak platí:

$$\begin{aligned} \mathbf{T}_4^1(\mathbf{Q}, \boldsymbol{\xi}) &= \mathbf{T}_2^1(\theta_2) \cdot \mathbf{T}_3^2(d_3) \cdot \mathbf{T}_4^3(\theta_4) \\ \mathbf{R}_4^1 &= \mathbf{T}_4^1(\mathbf{Q}, \boldsymbol{\xi})[1 : 3, 1 : 3] = \begin{bmatrix} \cos \phi & -\sin \phi & 0 \\ \sin \phi & \cos \phi & 0 \\ 0 & 0 & 1 \end{bmatrix} \\ \phi &= \text{atan2}(\mathbf{R}_4^1[2, 1], \mathbf{R}_4^1[1, 1]) \end{aligned} \quad (49)$$

IKÚ:

První kloubovou souřadnici lze stanovit opět přímo z polohy bodu \mathbf{O}_4^0 jako:

$$\theta_1 = \text{atan2}(\mathbf{O}_4^0[2], \mathbf{O}_4^0[1]) \quad (50)$$

Poloha \mathbf{O}_3 lze také určit posunutím polohy bodu \mathbf{O}_4 ve směru osy x s.s. F_4 :

$$\mathbf{O}_3^1 = \mathbf{O}_4^1 - \mathbf{R}_4^1[:, 1] \cdot a_4 \quad (51)$$

kde

$$\begin{aligned} \mathbf{R}_4^1 &= \begin{bmatrix} \cos \phi & -\sin \phi & 0 \\ \sin \phi & \cos \phi & 0 \\ 0 & 0 & 1 \end{bmatrix} \\ \mathbf{O}_4^1 &= (\mathbf{T}_1^0(\theta_1))^{-1} \cdot \mathbf{O}_4^0 \end{aligned}$$

kde $\mathbf{T}_1^0(\theta_1)$ je již známá transformační matice.

Je zřejmé, že souřadnice bodu \mathbf{O}_3 musí odpovídat svým tvarem součinu příslušejících transformačních matic, tedy porovnáním:

$$\mathbf{O}_3^1 = [w_x \ w_y \ 0]^T \stackrel{!}{=} \mathbf{T}_3^1(\theta_2, d_3) \quad (52)$$

kde $\mathbf{T}_3^1(\theta_2, \theta_3) = \mathbf{T}_2^1(\theta_2) \cdot \mathbf{T}_3^2(d_3)$.

Dostáváme soustavu dvou rovnic pro neznámé θ_2, d_3 .

$$w_x = d_3 \sin \theta_2 \quad (53)$$

$$w_y = -d_3 \cos \theta_2 \quad (54)$$

Umocněním a sečtením (53), (54) dostáváme:

$$d_3 = \pm \sqrt{w_x^2 + w_y^2} \quad (55)$$

A zároveň:

$$\theta_2 = \text{atan2}(w_x, -w_y) \quad \text{pro: } d_3 > 0 \quad (56)$$

$$\theta_2 = \text{atan2}(-w_x, w_y) \quad \text{pro: } d_3 \leq 0 \quad (57)$$

Poslední kloubová souřadnice lze stanovit jednoduše rozdílem:

$$\theta_4 = \phi - \theta_2 \quad (58)$$

Z rovnice (55) tedy vyplývají dvě řešení IKÚ.

3.2 Závislosti rychlosti a zrychlení

Závislosti rychlostí a zrychlení lze stanovit analogicky jako v Kapitole 2.1. Výsledný simulační model byl opět vytvořen v prostředí SimMechanics a byla provedena simulace v režimu inverzní dynamiky pro pohyb po identické požadované trajektorii koncového efektoru manipulátoru. Parametry manipulátoru byly voleny následovně:

- Kinematické parametry:

$$\boldsymbol{\xi} = [0.5 \quad 0.1]^T [m, m]$$

- Dynamické parametry:

- *Link 1* (pojezd - hmotný bod):

hmotnost: $m_1 = 5 [kg]$, poloha těžiště (vzhledem k s.s. F_1): $cg_1 = [-0.1 \quad 0 \quad 0]^T [m]$

- *Link 2* (rameno - tenká plná tyč poloměru 0.01 m):

hmotnost: $m_2 = 0.37 [kg]$, poloha těžiště (vzhledem k s.s. F_2): $cg_2 = [0 \quad 0 \quad 0.075]^T [m]$,
matice setrvačnosti $I_2 = \text{diag}(7 \cdot 10^{-4}, 7 \cdot 10^{-4}, 1.8 \cdot 10^{-5}) [kg \cdot m^2]$

- *Link 3* (rameno - tenká plná tyč poloměru 0.01 m):

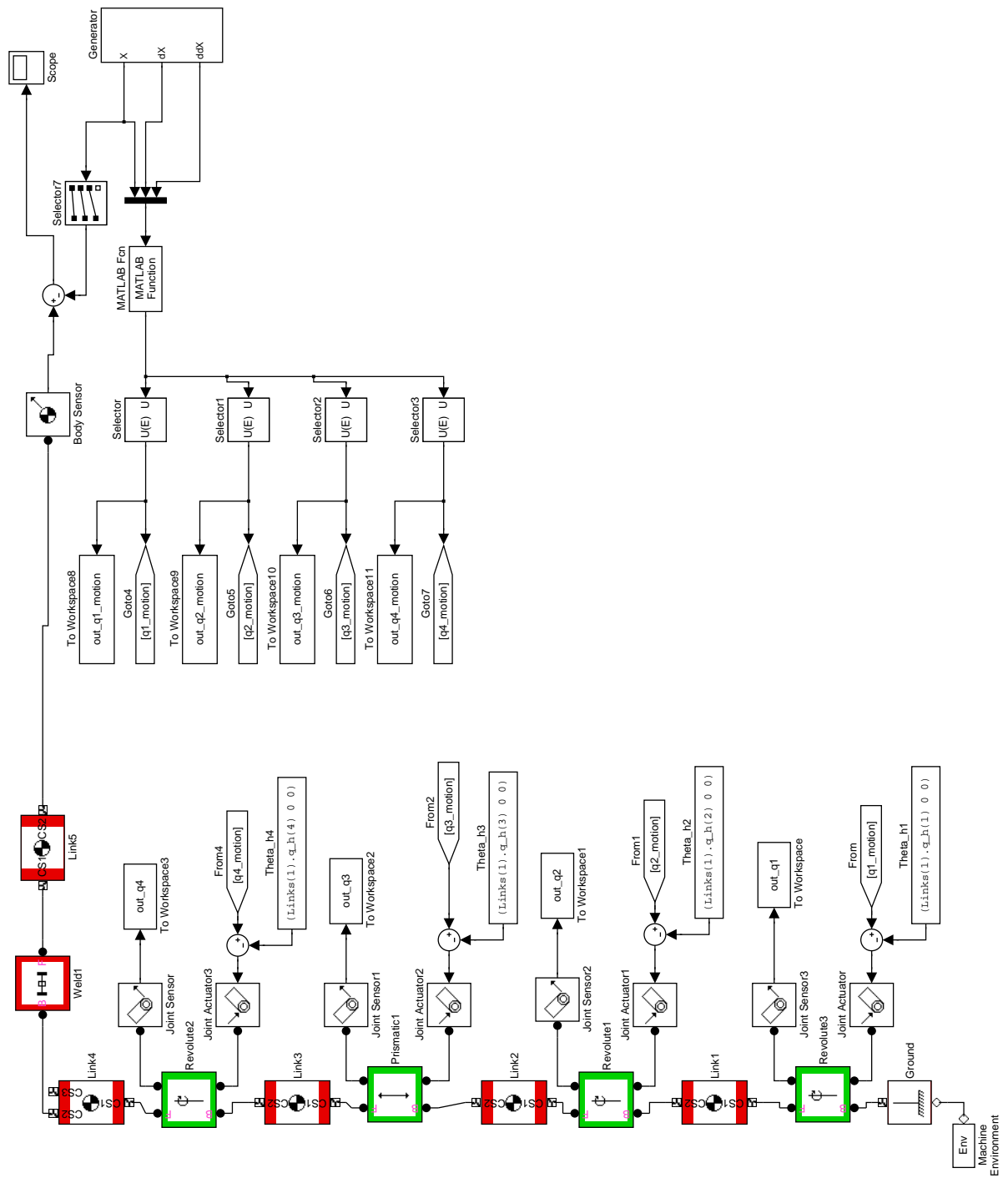
hmotnost: $m_3 = 0.37 [kg]$, poloha těžiště (vzhledem k s.s. F_3): $cg_3 = [0 \quad 0.075 \quad 0]^T [m]$,
matice setrvačnosti $I_3 = \text{diag}(7 \cdot 10^{-4}, 7 \cdot 10^{-4}, 1.8 \cdot 10^{-5}) [kg \cdot m^2]$

- *Link 4* (rameno - tenká plná tyč poloměru 0.01 m):

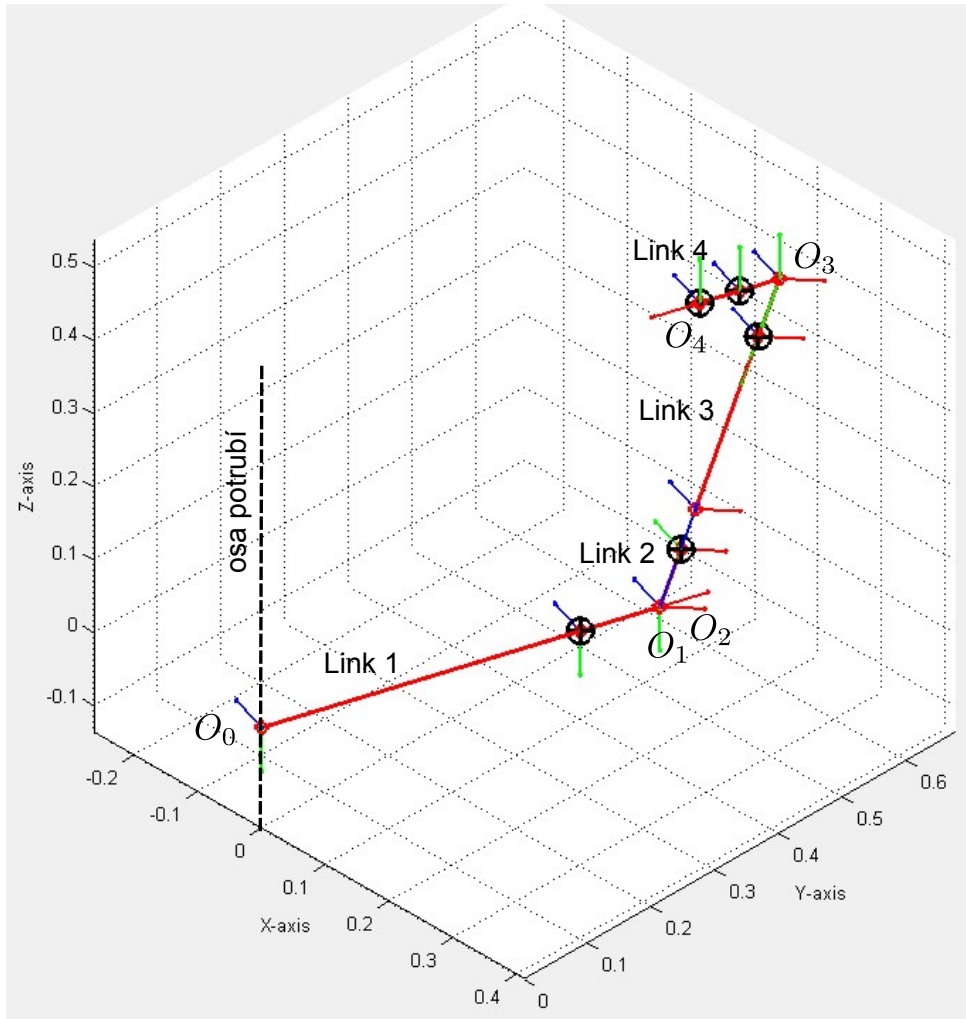
hmotnost: $m_4 = 0.25 [kg]$, poloha těžiště (vzhledem k s.s. F_4): $cg_4 = [-0.05 \quad 0 \quad 0]^T [m]$,
matice setrvačnosti $I_4 = \text{diag}(2.1 \cdot 10^{-4}, 2.1 \cdot 10^{-4}, 1.2 \cdot 10^{-5}) [kg \cdot m^2]$

- břemeno (UZ sonda - hmotný bod):

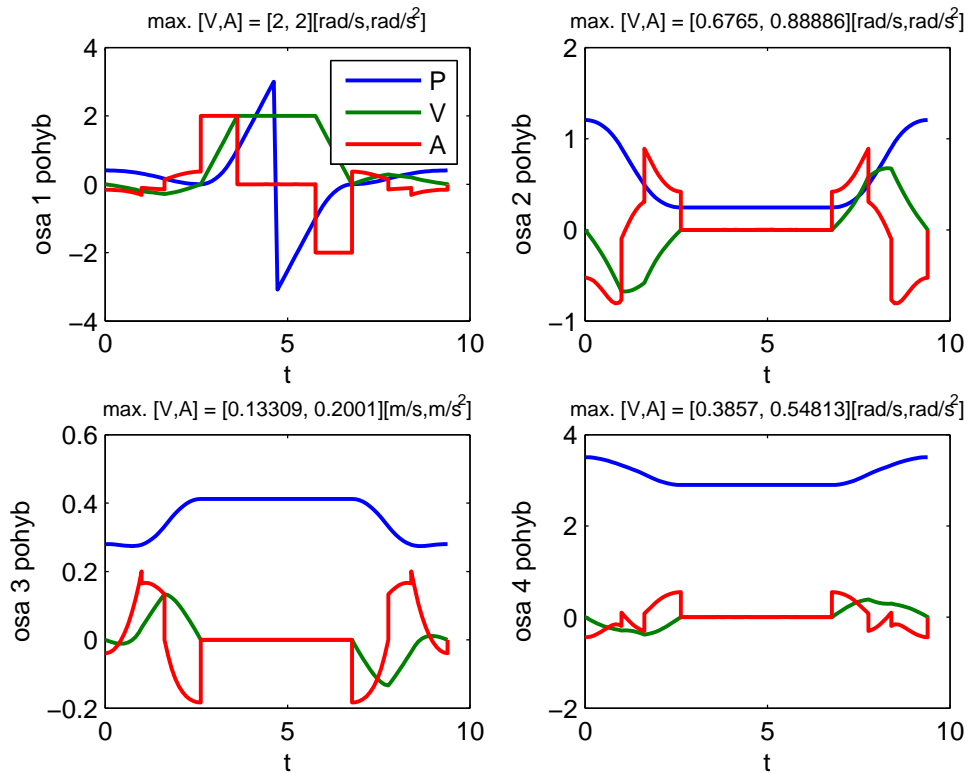
hmotnost: $m_5 = 0.3 [kg]$, umístěn v počátku s.s. F_4



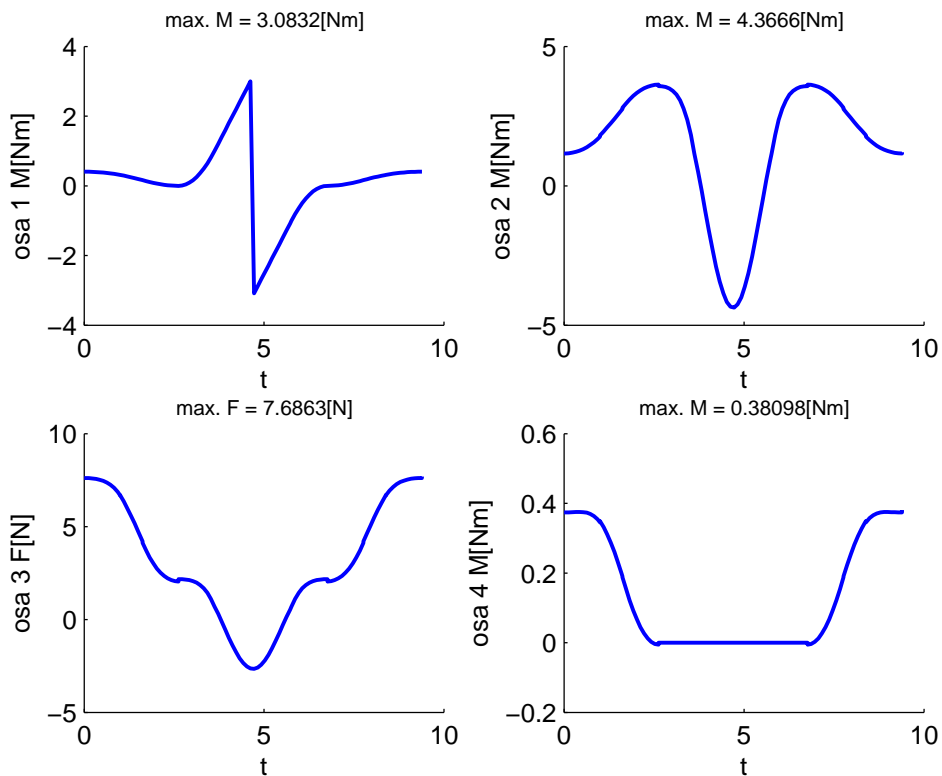
Obrázek 8: Simulační model v SimMechanicsu - Varianta 2



Obrázek 9: Simulační model v SimMechanicsu - Varianta 2



Obrázek 10: Polohy Q , rychlosti \dot{Q} a zrychlení \ddot{Q} kloubových souřadnic - Varianta 2

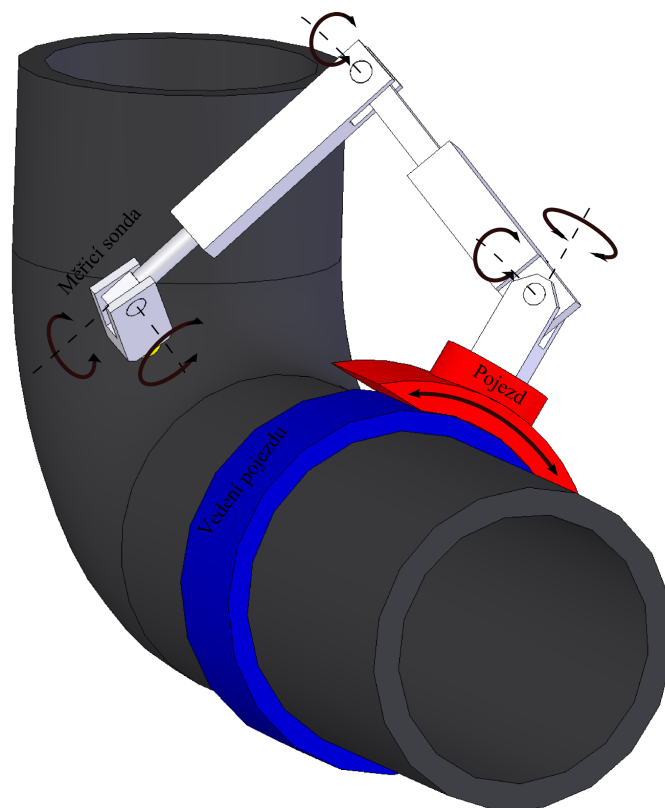


Obrázek 11: Požadované momenty v kloubech manipulátoru - Varianta 2

4 Univerzální sériový manipulátor

V Kapitolách 2 a 3 byly představeny sériové manipulátory se 4 DoF (3 translační a 1 rotační). UZ sonda tak může být vzhledem k povrchu potrubí polohována do libovolné pozice a její orientace může být libovolně měněna pouze úhlem (zobecněná souřadnice ϕ), který svírá kolmá osa potrubí (osa x s.s. F_1) s podélnou osou UZ sondy (osa x s.s. F_4). V případě nutnosti řízení obecné libovolné orientace UZ sondy je nezbytně nutné přistoupit k univerzálnějšímu řešení architektury manipulátoru. Jedna z možných variant manipulátoru se 6 DoF (3 translační a 3 rotační) je znázorněna na Obrázku 12. Tato předkládaná varianta nadále zůstává předmětem analýzy a vhodnost této konstrukce bude nadále diskutována s ohledem na potřeby univerzálnosti versus technologické složitosti. V současnosti vyvstávají následující fakta a otázky týkající se navržené architektury:

- PKÚ lze řešit analyticky (platí obecně pro sériové manipulátory).
- Analytické řešení IKÚ je známo pro sériové manipulátory typu $6R$ jen za předpokladu, že lze manipulátor dekomponovat na tzv. sférické zápěstí (3 rotační osy se společným průsečíkem) a zbývající část manipulátoru plnící roli translačního pohybu.
- Uvedená architektura toto nesplňuje \Rightarrow v současnosti nám nejsou známy efektivní algoritmy pro řešení IKÚ (vyjma algoritmů čistě numerických).
- Nutnost osazovat 6 nezávislých rotačních aktuátorů. Je to skutečně nutné, nestačilo by např. poslední dva klouby realizovat jako pasivní? (Zajištění tečného kontaktu s potrubím.)



Obrázek 12: Univerzální sériový manipulátor

5 Závěr

Náplní zprávy bylo vytvoření virtuálních kinematicko-dynamických modelů předložených architektur manipulátorů. Při analýze polohových závislostí mezi kloubovými a zobecněnými souřadnicemi manipulátorů byly nalezeny analytické vztahy pro řešení přímé i inverzní kinematické úlohy. Závislosti rychlostí a zrychlení kloubových a zobecněných souřadnic byly odvozeny systematickou geometrickou metodou bez nutnosti symbolického derivování polohových závislostí. Všechny výpočty byly realizovány ve výpočetním prostředí Matlab [2] a Maple [1]. Virtuální simulační modely byly sestaveny s pomocí blocksetu SimMechanics v nadstavbě Simulink v Matlabu. Požadované síly a silové momenty v jednotlivých kloubech manipulátoru, které jsou zapotřebí pro generování požadované trajektorie koncového efektoru byly získány simulacemi v režimu inverzní dynamiky v SimMechanicsu.

Reference

- [1] MapleSoft, Maple. <http://www.maplesoft.com/>.
- [2] The MathWorks, Matlab. <http://www.mathworks.com/>.
- [3] Bláha, L.: Groebnerova báze a teorie řízení. Práce ke státní doktorské zkoušce, Katedra kybernetiky, FAV, ZČU v Plzni, 2011.
- [4] Švejda, M.: Kinematika robotických architektur. Práce ke státní doktorské zkoušce, Katedra kybernetiky, FAV, ZČU v Plzni, 2011.